

## Rotort

Vi har tidigare sett hur storleken på återkopplingen kan påverka polplaceringen. Idag ska vi titta mer formellt på detta samband. Detta görs genom att betrakta en *rotort*. Rotorten är ett verktyg som vi har och kan använda bland annat när vi fattar reglerdesignbeslut. I praktiken ritar man inte själv ut rotorten utan man låter en dator göra det.

### Exempel: skriv om polekvationen

Anta att vi återkopplat vårt system

$$G(s) = \frac{20}{s^2 + 10s + 29}$$

med regulatorn  $F(s) = k_P + \frac{1}{s}k_I$ . Polekvationen blir då:

$$\begin{aligned} 1 + F(s)G(s) &= 0 \implies \\ s^3 + 10s^2 + (29 + 20k_P)s + 20k_I &= 0 \end{aligned}$$

Vi är intresserade av hur polernas placering beror på  $k_P$  och  $k_I$ . Vi börjar med att kolla på hur de beror på  $k_P$ . Därför delar vi upp ekvationen i två polynom:

$$\underbrace{s^3 + 10s^2 + 29s + 20k_I}_{P(s)} + \underbrace{k_P \cdot 20s}_{Q(s)} = 0.$$

Vi kan nu skriva ekvationen som:

$$P(s) + K \cdot Q(s) = 0 \implies \frac{P(s)}{Q(s)} = -K \quad (1)$$

där  $P(s)$  är ett polynom av  $n$ :te graden och  $Q(s)$  är ett polynom av  $m$ :te graden. Det är rötterna till denna ekvation som vi plottar som en funktion av  $K$ .

### Att rita en rotort

Vi ritar ut varje pols förflyttning som en "gren". Totalt finns  $n$  st grenar.

- Skriv om ditt polpolynom på formen  $P(s) + KQ(s) = 0$  där  $K$  är variabeln som du vill variera
- Ändpunkter: Rötterna till  $Q(s)$  motsvarar  $K = \infty$  [ $m$  st]
- Startpunkter: Rötterna till  $P(s)$  motsvarar  $K = 0$  [ $n$  st]
- $a_1 = \sum \text{startpunkter}, b_1 = \sum \text{ändpunkter}$
- Asymptoter: Om  $m < n$  kommer  $(n-m)$  grenar gå mot oändligheten.  
De utgår från  $-\frac{a_1 - b_1}{n-m}$  i riktningarna  $\frac{\pi}{n-m}(1+2k)$  då  $k = 0, \dots, n-m-1$
- Vi skär den imaginära axeln då  $P(i\omega) + KQ(i\omega) = 0$
- De delar av reella axeln med ett udda antal reella start- eller ändpunkter till höger, tillhör rotorten.

## Övningsuppgifter (3.33, 3.5, 3.6)

### 3.33

Med Newtons lag:

$$\begin{aligned} F &= ma \Rightarrow \\ u &= m\ddot{y} \end{aligned} \quad (2)$$

Från uppgiftsbeskrivningen är det känt att  $u = K_1(r-y) - K_1 K_2 \dot{y}$ . Tillsammans med ekvation (3) fås:

$$\begin{aligned} K_1(r-y) - K_1 K_2 \dot{y} &= m\ddot{y} \Rightarrow \\ m\ddot{y} + K_1 y + K_1 K_2 \dot{y} &= K_1 r \Rightarrow \text{Laplace} \\ Y(s)(ms^2 + K_1 + K_1 K_2 s) &= K_1 R(s) \end{aligned}$$

Överföringsfunktionen blir därför:

$$Y(s) = \frac{K_1}{ms^2 + K_1 K_2 s + K_1} R(s) \quad (3)$$

Och blockdiagrammet i figure 1 visar hur systemet funkar.

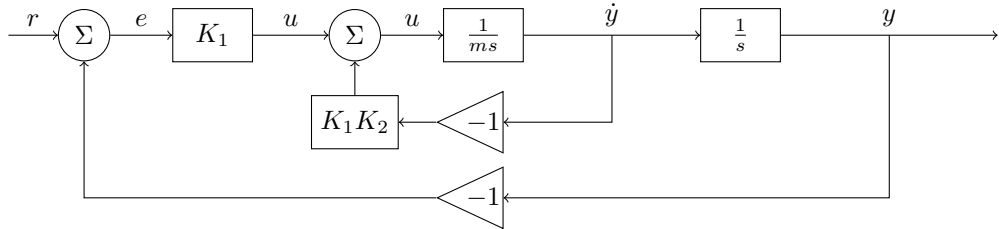


Fig. 1: Blockdiagram för astronautens position.

**Krav 1:**  $e_1 \leq 1$

$e_1$  är det statiska felet då insignalen är en ramp ( $u = k \cdot t$ ). Laplacetransformen av denna är  $U(s) = \frac{k}{s^2}$ . Överföringsfunktionen för felet lyder:

$$E(s) = (1 - G_c(s))R(s) = \left(1 - \frac{1}{ms^2 + K_1 K_2 \cdot s + K_1}\right) R(s) = \frac{ms^2 + K_1 K_2 \cdot s + (K_1 - 1)}{ms^2 + K_1 K_2 \cdot s + K_1} R(s)$$

Eftersom att alla nollskilda poler har negativ realdel kan vi använda slutvärde-satsen på  $E(s)$ :

$$\lim_{s \rightarrow 0} sE(s)R(s) = \{\text{med } R(s) = s^{-2}\} = \lim_{s \rightarrow 0} \frac{ms^2 + K_1 K_2 \cdot s + (K_1 - 1)}{s(ms^2 + K_1 K_2 \cdot s + K_1)} =$$

Insättning av  $K_1 = 1$  ger nu att:

$$\lim_{s \rightarrow 0} \frac{ms^2 + K_1 K_2 \cdot s}{s(ms^2 + K_1 K_2 \cdot s + K_1)} = \frac{K_1 K_2}{K_1} \Rightarrow K_2 \leq 1$$

**Krav 2:**  $\zeta = 0.7$

$\zeta$  är systemets dämpning. Betrakta täljarpolynomet och lös ut  $\omega_0$  och  $\zeta$ :

$$\begin{aligned} s^2 + K_1 K_2 / m \cdot s + K_1 / m &= s^2 + 2\zeta\omega_0 s + \omega_0^2 \Rightarrow \\ \omega_0 &= \sqrt{K_1 / m} \Rightarrow \\ K_1 &= \left( \frac{2\zeta\sqrt{m}}{K_2} \right)^2 = \frac{196}{K_2^2} \end{aligned}$$

**Svar:**  $K_1 = \frac{196}{K_2^2}$ ,  $K_2 \leq 1$

**3.5 a)**

Överföringsfunktionen är given:

$$G(s) = \frac{K(s+2)}{s(s+1)(s+3)}$$

Polekvationen blir därför

$$G_o(s) = 0 \Rightarrow 1 + K \cdot G(s) = 0 \Rightarrow \underbrace{s(s+1)(s+3)}_{P(s)} + K \underbrace{(s+2)}_{Q(s)} = 0$$

Startpunkter:  $s = 0, -1, -3$  ( $n = 3$ )  
Ändpunkter:  $s = -2$  ( $m = 1$ )

De delar av reella axeln som har ett udda antal start- eller ändpunkter är med i rotorten. Med  $n = 3, m = 1$  får vi  $(n-m) = 2$  asymptoter. Dessa utgår från punkten  $\frac{a_1-b_1}{n-m} = -1$  och har riktningarna  $\frac{\pi}{2} + \pi \cdot k$  för  $k = 1, 2$ . Resultatet är rotorten i Figur 2.

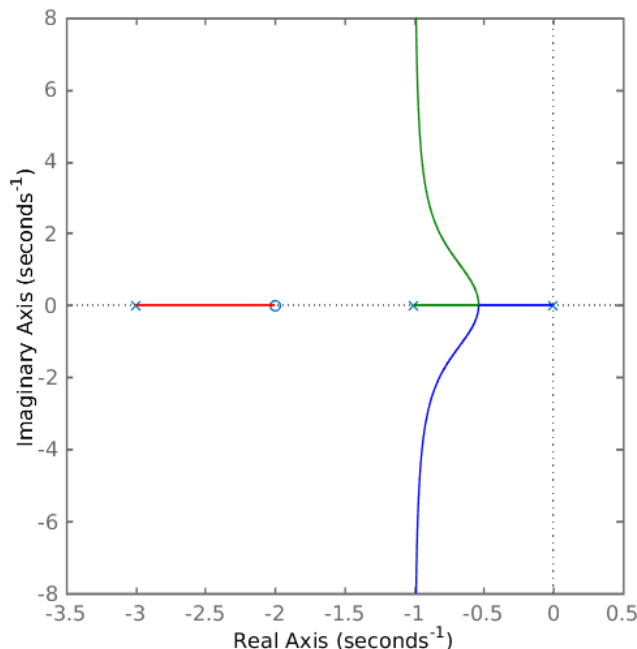


Fig. 2: Rotort tillhörande systemet i uppgift 3.5a)

### 3.6

Vi börjar med att härleda överföringsfunktionen. Först härleder vi den inre loopen. Vi kallar signalen in till inre loopen för  $\dot{\Theta}_{ref}(s)$  eftersom att den blir en slags referens för vinkelhastigheten.

$$\dot{\Theta}(s) = K \frac{k}{1+sT} (\dot{\Theta}_{ref} - \alpha \dot{\Theta}(s)) \implies \dot{\Theta}(s) = \frac{kK}{1+s\tau + \alpha kK} \dot{\Theta}_{ref}(s)$$

Nu kan vi härleda det fullständiga systemet:

$$\begin{aligned} \Theta(s) &= \frac{1}{s} \dot{\Theta}(s) = \frac{1}{s} \frac{kK}{1+s\tau + \alpha kK} \dot{\Theta}_{ref}(s) - \Theta(s) \\ \implies \Theta(s) &= \frac{kK/T}{s^2 + s(1 + \alpha kK)/T + kK/T} \dot{\Theta}_{ref}(s) \end{aligned}$$

vilket med insatta värden blir:

$$\Theta(s) = \frac{4k}{s^2 + 2(1 + 2\alpha k)s + 4k} \Theta_{ref}(s)$$

**a)  $\alpha = 0$**

$$\Theta(s) = \frac{4k}{s^2 + 2s + 4k} \Theta_{ref}(s) \implies 4k + s^2 + 2s + 4k = 0$$

Detta ger att:

$$\begin{array}{ll} P(s) = s^2 + 2s + 4k & \Rightarrow \text{Startpunkter: } s = 0, -2 \quad (n = 2) \\ Q(s) = 4 & \Rightarrow \text{Ändpunkter: } \text{inga} \quad (m = 0) \end{array}$$

De  $(n - m) = 2$  asymptoterna utgår från punkten  $-\frac{a_1 - b_1}{n-m} = -\frac{2-0}{2-0} = -1$  och har riktningen  $\frac{\pi}{2} + \pi \cdot k$  för  $k = 1, 2$ . Resultatet visas i figur 3.

**b)  $\alpha = 1$**

$$\Theta(s) = \frac{4k}{s^2 + 2(1 + 2k)s + 4k} \Theta_{ref}(s)$$

Detta ger att:

$$\begin{array}{ll} P(s) = s^2 + 2s + 4k & \Rightarrow \text{Startpunkter: } s = 0, -2 \quad (n = 2) \\ Q(s) = 4 + 4s & \Rightarrow \text{Ändpunkter: } s = -1 \quad (m = 1) \end{array}$$

$(n - m) = 1$  asymptot, som har riktningen  $\pi + 2\pi \cdot k$  för  $k = 1$ . Resultatet visas i figur 4. Jämfört med resultatet i del a) så der vi en tydlig förbättring - rotorten blir inte längre starkt oscillerande då återkopplingen ökar.

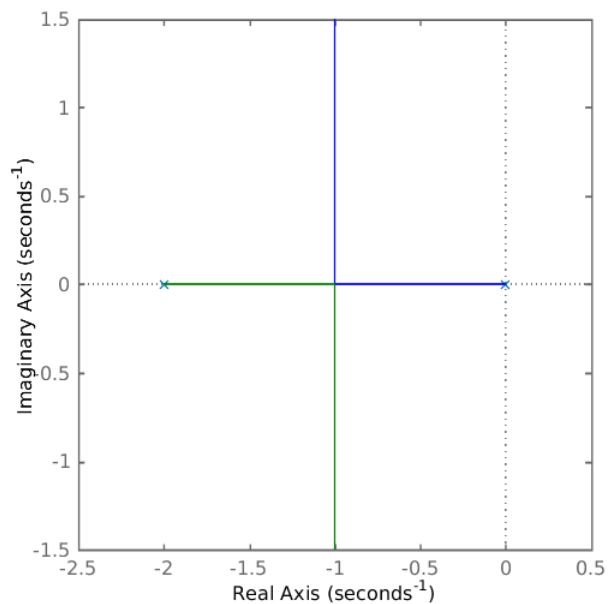


Fig. 3: Rotort tillhörande systemet i uppgift 3.6a)

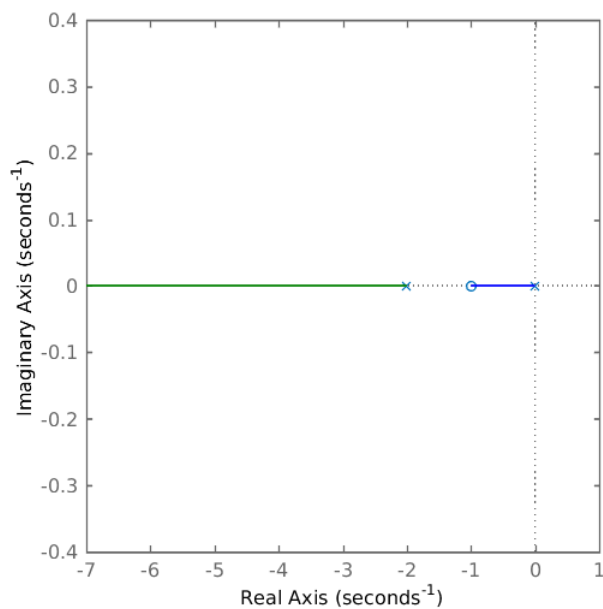


Fig. 4: Rotort tillhörande systemet i uppgift 3.6b)

d)  $k = 1$

$$\Theta(s) = \frac{4}{s^2 + 2(1+2\alpha)s + 4} \Theta_{ref}(s) \implies \underbrace{s^2 + 2s + 4}_{P(s)} + \alpha \cdot \underbrace{2s}_{Q(s)} = 0$$

Detta ger att:

$$\begin{array}{lll} P(s) = s^2 + 2s + 4 & (n=2) & \text{Startpunkter: } s = -1 \pm \sqrt{3}i \quad (n=2) \\ Q(s) = 4s & (m=1) & \text{Ändpunkter: } s = 0 \quad (m=1) \end{array}$$

$(n-m) = 1$  asymptoter, med riktningen  $\pi$ .

Den punkt där funktionen blir imaginär kan fås genom att lösa ut de värden av  $k$  som ger icke-reela rötter till  $s^2 + (2+4\alpha)s + 4 = 0$ . Med hjälp av t.ex. pq-formeln får vi att rötterna ges av

$$s = -(1+2\alpha) \pm \sqrt{(1+2\alpha)^2 - 4}$$

Utrycket blir icke-reelt då

$$1 + 4\alpha + 4\alpha^2 - 4 = 0 \Rightarrow \alpha = \begin{cases} -\frac{1}{2}(1 + \sqrt{5}) \\ -\frac{1}{2}(1 - \sqrt{5}) \end{cases} \Rightarrow \{\alpha \geq 0\} \Rightarrow s = -\sqrt{5}$$

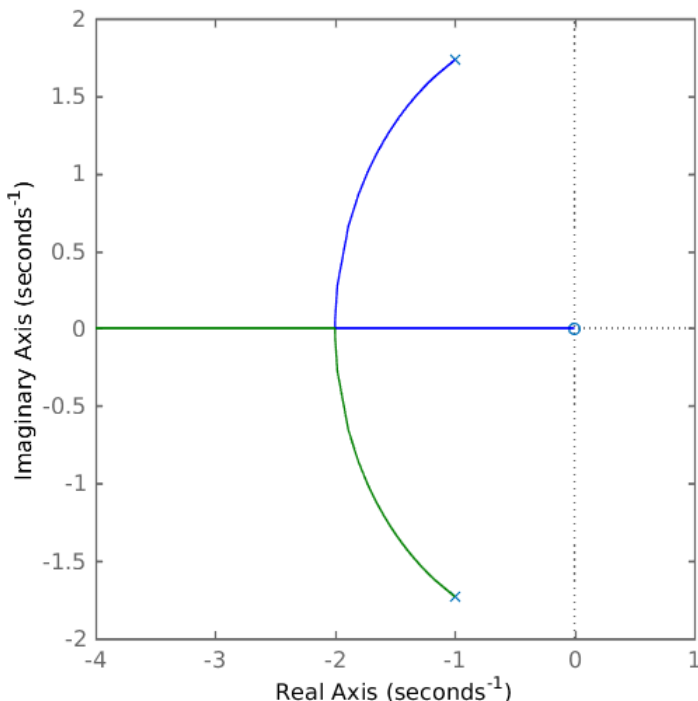


Fig. 5: Rotort tillhörande systemet i uppgift 3.6d)